

## Versuchsprotokoll

# Optische Kohärenztomographie

Maximilian Obst, Thomas Adlmaier

Protokoll: 11. November 2016

Messung: 28.10.2016

Ort: Medizinische Fakultät Carl Gustav Carus

Betreuer: M.Sc. Jonas Golde

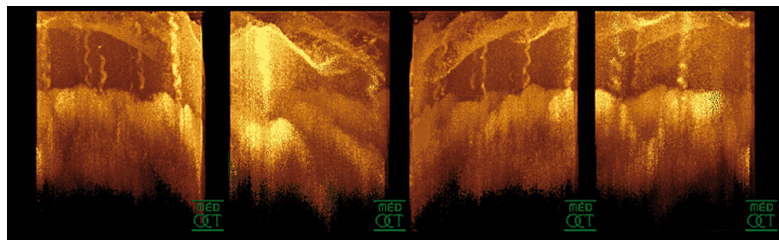


Abbildung 1: Fingerkuppe unter optische Kohärenztomographie [1]



## 1 Physikalische Grundlagen

Die Optische Kohärenztomographie ist ein bildgebendes Verfahren, welches vor allem in der Humanmedizin verwendet wird. Dort schließt es die Lücke zwischen Sonographie, welche sehr tief in den Körper eindringen kann, aber nur eine grobe Auflösung bietet, und Mikroskopie, die nur die Oberfläche abbilden kann. Die optische Kohärenztomographie (OCT) bildet die ersten Millimeter des Gewebes mit hoher Auflösung ab. In diesem Versuch wird eine Einführung in die Arbeit mit OCT geboten. Es wird sowohl Time Domain OCT als auch Frequency Domain OCT durchgeführt.

### 1.1 Einführung

Bei der OCT wird ein Material mit Licht einer bestimmten Wellenlänge im Infrarotbereich beschienen. Besonders eignen sich die Wellenlängen um 800 nm, die eine besonders gute Auflösung der Bilder liefern, und die Wellenlängen um 1300 nm, welche besonders tief in menschliches Gewebe eindringen können. Das vom Gewebe reflektierte Licht wird in einem Michelson-Interferometer mit dem von einem Referenzarm reflektierten Licht überlagert. Aus dem Interferenzbild kann ein räumliches Bild des Materials gewonnen werden.

### 1.2 Time Domain OCT

Bei der Time Domain OCT (TD OCT) wird breitbandiges, kurzkohärentes Licht verwendet. Damit wird gewährleistet, dass Interferenz nur entsteht, wenn beide Arme annähernd gleich lang sind. Die Kohärenzlänge bestimmt damit direkt die axiale Auflösung. Durch Verschiebung des Referenzspiegels, sodass die Interferenz bestehen bleibt, kann die Tiefe der Reflexion bestimmt werden. Durch die nötige mechanische Arbeit können nur Wiederholungsraten von wenigen kHz erzeugt werden. Aufgezeichnet wird nur die Intensität der Interferenz.

Die normierte komplexe Selbstkohärenzfunktion stellt den Interferenzterm da:

$$\gamma(\tau) = e^{-i\Omega\tau} e^{-\frac{1}{16\ln 2}(\Delta\Omega\tau)^2} \quad (1)$$

$\Omega$  = Kreisfrequenz;  $\tau$  = Laufzeitdifferenz

Kohärenzlänge und axiale Auflösung:

$$l_c = \frac{2\ln 2}{\pi} \frac{\lambda_c^2}{\Delta\lambda} \quad (2)$$

$\lambda_c$  = Zentralwellenlänge des Laserspektrums

### 1.3 Frequency Domain OCT

Bei der Frequency Domain OCT (oder auch Fourier Domain OCT; FD OCT) wird im Unterschied zur TD OCT nicht nur die Intensität des Interferenzsignals, sondern des ganzen Interferenzspektrum aufgezeichnet, indem das Licht spektral zerlegt wird. Damit kann die gesamte Tiefeninformation gleichzeitig aufgenommen werden und das Signal-Rausch-Verhältnis ist wesentlich besser. Es gibt zwei Varianten: Die Spectral Domain OCT (SD OCT), bei der das Licht durch ein Spektrometer gefiltert wird, und die Swept Source OCT (SS OCT), bei der die Wellenlänge des Lichts durchgestimmt wird. Die Wiederholungsrate wird bei SD OCT durch die Auslesegeschwindigkeit der Fotochips bestimmt und liegt bei etwa 200 kHz.

Axiale Auflösung:

$$FWHM_z = \frac{\sqrt{2 \ln 2}}{n} \frac{\lambda_c^2}{2\pi\sigma_\lambda} = \frac{2 \ln 2}{\pi n} \frac{\lambda_c^2}{FWHM_\lambda} \quad (3)$$

$\sigma_\lambda$  = Standardabweichung bezüglich der Wellenlänge;  $n$  = Brechungsindex der Probe;

$FWHM_\lambda$  = Halbwertsbreite des Laserspektrums

Maximale Eindringtiefe:

$$z_{max} = \frac{\pi}{2\delta k} = \frac{\lambda_c^2}{4\delta\lambda} \quad (4)$$

### 1.4 Doppler FD OCT

Mit Hilfe der Doppler FD OCT können schließlich auch Geschwindigkeiten quantitativ untersucht werden. Dafür muss nun neben der Intensität auch die Phase  $\phi$  mit aufgenommen werden. Eine aufgenommene Phasenverschiebung deutet eine axiale Verschiebung an, also eine Geschwindigkeit des untersuchten Materials.

$$\Delta\phi = 2k\Delta z_s \quad (5)$$

Problematisch ist dabei der endliche Strahldurchmesser  $\omega_0$ , der zu einer Wichtung der aufgenommenen Amplituden und Phasen führt. Um mit dieser Wichtung umzugehen, werden dimensionslose Größen eingeführt:

$$\delta x = \frac{\Delta x}{\omega_0} \quad (6)$$

Solange  $\delta x$  kleiner als 1 ist, beschreibt das klassische Dopplermodell das Problem hinreichend. Für größere Werte muss eine Erweiterung des Modells vorgenommen werden.

### 1.5 Signalverarbeitung

Um die Signale aus dem OCT zu verarbeiten, müssen verschiedene Umformungen gemacht werden: Zunächst ein Dechirp, der Verzerrungen ausgleicht, indem er reskaliert. Dann wird über das Spektrum ein Hanning-Fenster gelegt. Dieses schwächt das Rauschen ab, führt aber zu einer Auflösungsver schlechterung. Schließlich wird mit Fast Fourier Transformation das Tiefenprofil erstellt. Die Intensitätsdarstellung wird dabei in die logarithmische Skala überführt und als 8 bit Grauwert ausgegeben.

## 2 Durchführung

Der Versuch wird mit einem FD OCT-Gerät durchgeführt. Dabei wird die Methode der SD OCT angewandt. Die verwendete Zentralwellenlänge  $\lambda_0$  beträgt  $845\text{ nm}$  bei einer Bandbreite von  $\Delta\lambda = 35\text{ nm}$ . Das Auslesen erfolgt mit einer Geschwindigkeit von  $11888,2\text{ Hz}$ .

### 2.1 Time Domain OCT

Zunächst soll TD OCT durchgeführt werden. Da das Gerät selbst auf FD OCT beruht, muss die TD OCT simuliert werden. Dafür wird auf einem Lautsprecher ein Spiegel angebracht. Somit tauschen der Referenzarm und der Probenarm ihre Funktion. Um die Messung durchzuführen, muss zunächst der Spiegel fokussiert werden. Dann wird der Lautsprecher bei einer Frequenz von  $20\text{ Hz}$  zum Schwingen gebracht. Die Aufnahme erfolgt mit dem Programm TD\_OCT.vi. Die Messdaten werden gespeichert.

Um die Geschwindigkeit des Lautsprechers zu bestimmen, muss danach noch mit FD OCT die Amplitude der Schwingung gemessen werden. Dafür wird das Programm OCT\_MAXIMUS\_Doppler.vi verwendet und die aufgenommenen Messdaten wieder gespeichert.

### 2.2 Frequency Domain OCT

Hier soll zunächst die axiale Auflösung des Geräts untersucht werden. Dafür wird eine aufgeraute,  $5\text{ mm}$  dicke Glasplatte in den Strahlengang gehalten und fokussiert, sodass der Oberflächenreflex gut zu sehen ist. Die Daten werden gespeichert.

Als nächstes wird eine medizinische Messung durchgeführt. Dafür werden zwei Finger in den Strahlengang gehalten und fokussiert: Ein eingecremter Finger und ein uneingecremter. Nach der Messung an jeweils drei Stellen der Finger werden beide für 10 Minuten in ein

Wasserbad gehalten. Dann wird an den selben Stellen wieder ein Bild aufgenommen. Dies wird nach nochmals 10 Minuten im Wasserbad wiederholt.

## 2.3 Doppler FD OCT

Als letztes soll in einer runden Glaskapillare mit einem Innendurchmesser von etwa  $300\text{ }\mu\text{m}$  die Fließgeschwindigkeit quantitativ bestimmt werden. Dafür wird eine Lösung aus  $2\text{ ml}$  Intralipid20 und  $48\text{ ml}$  destilliertem Wasser hergestellt. Dann wird der tatsächliche Innendurchmesser an der untersuchten Stelle gemessen, indem dort ein Bild der leeren Kapillare nach der Fokussierung aufgenommen wird. Dann wird zur Bestimmung des Brechungsindex der Kapillare ein Bild der mit der Lösung durchsetzten Kapillare gemacht.

Zur Bestimmung der Fließgeschwindigkeit muss zunächst der korrekte Dopplerwinkel eingestellt werden. Danach wird ein Volumenstrom eingestellt, der zu einer maximalen Fließgeschwindigkeit unterhalb der Schwelle zum erweiterten Dopplermodell führt. Schließlich werden mit dem Programm OCT\_MAXIMUS\_Doppler.vi die Geschwindigkeitsprofile aufgenommen und gespeichert.

## 3 Analyse

Längenmessungen während der Analyse: In den aufgenommenen Bildern können mit verschiedenen Bearbeitungsprogrammen Abstände in der „Einheit“ Pixel gemessen werden. Ein Pixel in y-Richtung ist dabei  $5\text{ }\mu\text{m}$  groß. Hierrüber kann also die tatsächliche Länge ausgerechnet werden.

### 3.1 Time Domain OCT

Die Frequenzfunktion wird mit der simulierten TD OCT aufgenommen. Die Einhüllende dieser Funktion (siehe Bild 2) erinnert an zwei gegeneinander gelegte Gausskurven. Sowohl an die Unter- als auch an die Oberseite kann daher ein Gauss-Fit angelegt werden, wie in Bild 3 zu sehen ist. Aus diesem Fit lässt sich die Schwingungsdauer und die daraus abgeleitete Frequenz bestimmen. Als Fehler dient die über 4 Werte ermittelte Standardabweichung.

$$T_{\text{Schwingung}} = (0.0253 \pm 0.0007) s f_{\text{Schwingung}} = (19.802 \pm 0.020) 1/s$$

Die Schwingungsamplitude wird mit FD OCT aufgenommen. Das entstandene Bild kann in Bild 4 gesehen werden. Auch hier wird als Fehler die Standardabweichung über 4

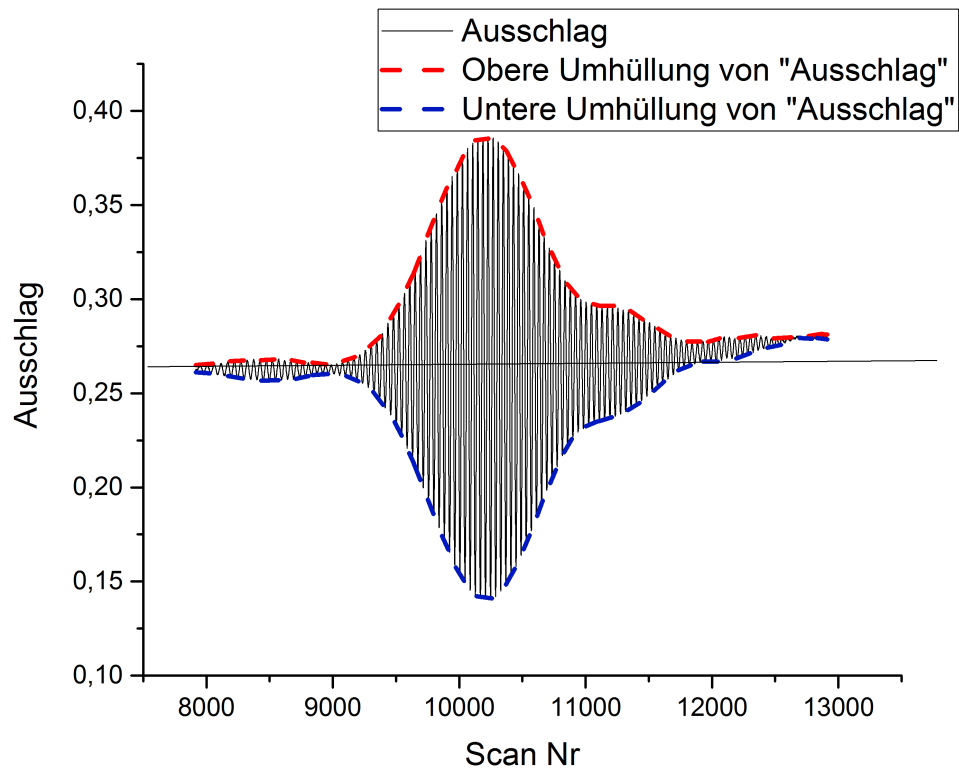


Abbildung 2: Mit TD OCT gemessene Ausschlagsfunktion des Lautsprechers

Werte gewählt.

$$l_{Amplitude} = (49 \pm 4) \mu m$$

Die experimentelle Auflösung wird aus der Geschwindigkeit des Lautsprechers im Null-durchgang bestimmt:

$$l_{c,TD OCT;exp.} = ??? \quad (7)$$

Die Geschwindigkeit wird mit der Frequenz des Lautsprechers und der Amplitude über folgende Formel berechnet:

$$v_{max;Lautsprecher} = l_{Amplitude} 2\pi f_{Schwingung} \Delta \quad v_{max;Lautsprecher} = \sqrt{(2\pi f_{Schwingung} \Delta l_{Amplitude})^2 + (2\pi \Delta f_{Schw} l_{Amplitude})^2} \quad (8)$$

Der Fehler berechnet sich über die Gauss'sche Fehlerfortpflanzung. Es folgt:

$$v_{Lautsprecher} = (6.1 \pm 0.5) mm/s$$

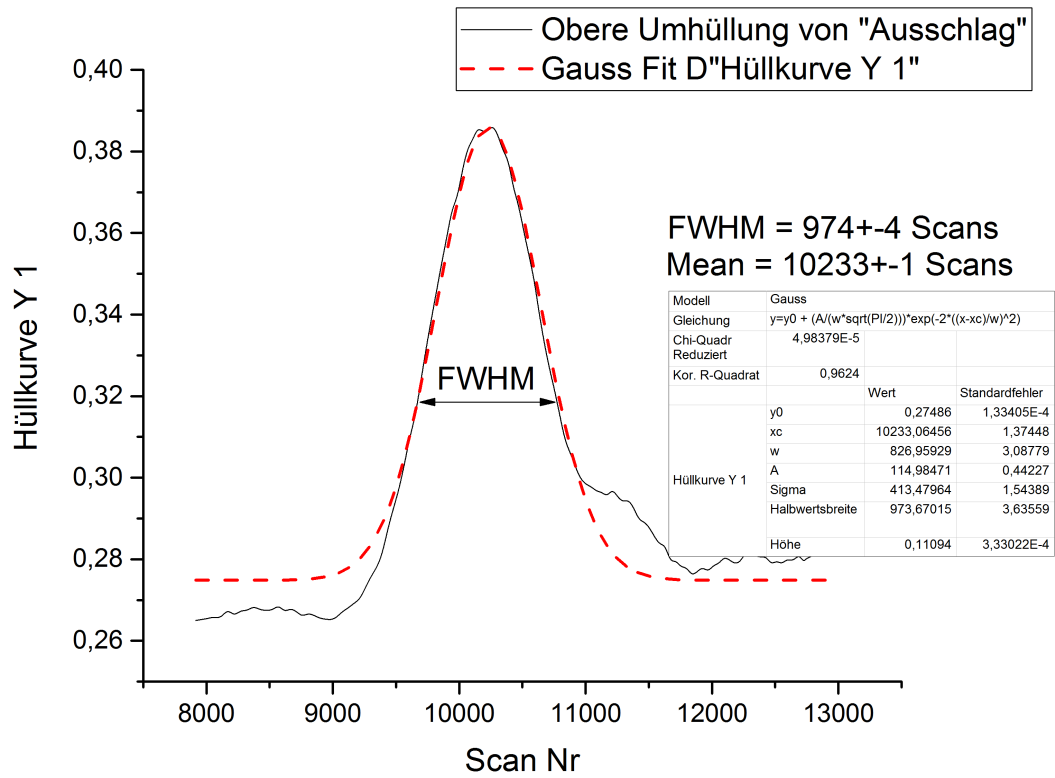


Abbildung 3: Berechnete Einhüllende der Funktion

Damit ergibt sich der folgende Wert:

$$l_{c,TDOCT;exp.} = ???$$

Die theoretische Auflösung der TD OCT wird mit der Formel 2 berechnet.

$$l_{c,TDOCT;th.} = 9.0022 \mu m$$

Das Verhältnis der beiden Auflösungen ist damit folgendes:

$$\frac{l_{c,TDOCT;exp.}}{l_{c,TDOCT;th.}} = ???$$

### 3.2 Frequency Domain OCT

Zur Bestimmung der experimentellen axialen Auflösung der FD OCT wird das Rückstreuungsspektrum einer angerauten Glasplatte untersucht. Dieses Spektrum zeigt einen Peak,



dessen Halbwertsbreite der Halbwertsbreite  $FWHM_z$  entspricht und damit mit der axialen Auflösung korrespondiert. Das Rückstreuungsspektrum kann in Bild 5, der Peak in Bild 6 gesehen werden.

$$l_{c,FDOCT;exp.} = (27.4 \pm 0.3)\mu m$$

Die theoretische Auflösung der FD OCT lässt sich mithilfe der Formel 3 bestimmen. Dabei stellt die spektrale Bandbreite  $\Delta\lambda$  des Lasers  $FWHM_y$  da. Da der Brechungsindex des Glases nicht gegeben ist, muss die theoretische Auflösung für alle wahrscheinlichen Indices berechnet werden. Diese liegen im Bereich von 1.45 bis 2.12. [3]

$$l_{c,FDOCT;th.} = (5.2 \pm 1.0)\mu m$$

Damit ergibt sich für das Verhältnis der beiden Auflösungen folgendes:

$$\frac{l_{c,FDOCT;exp.}}{l_{c,FDOCT;th.}} = 5.45 \pm 1.05$$

Die experimentelle Auflösung ist also um ein vielfaches schlechter als die theoretisch mögliche. Dafür verantwortlich müssen der Messaufbau und die Genauigkeit der Untersuchungsgeräte sein, da der Fit des Peaks sehr gut passt und somit die Datenauswertung sehr genau ist.

Im folgenden wird die Auswirkung von Wassereinwirkung auf die Haut der Fingerspitzen untersucht. Dabei zeigen die Bilder 7 das Verhalten eines uneingecremten und die Bilder 8 das Verhalten eines eingecremten Fingers.

Die Bilder zeigen die oberste Hautschicht (Epidermis) und den Beginn der zweiten Schicht (Dermis). Die eingecremten Finger zeigen zusätzlich eine weiß erscheinende Ablagerung auf der Epidermis, welche vermutlich die Creme darstellt. Grundsätzlich lässt sich erkennen, dass die Einwirkung von Wasser zu einer Vergrößerung der Epidermis führt. Die genauen Werte wurden an den dargestellten Bildern mittels Mittelung von Messungen an 4 Stellen ermittelt. Dargestellt werden die Größenänderungen der Epidermis im Bezug zu ihrer Anfangshöhe:

$$\Delta d_{ohneCreme,in10Minuten} = +0.1525mm$$

$$\Delta d_{ohneCreme,in20Minuten} = +0.2225mm$$

$$\Delta d_{mitCreme,in10Minuten} = +0.1225mm$$

$$\Delta d_{mitCreme,in20Minuten} = +0.1000mm$$

Es zeigt sich, dass der eingecremte Finger weniger aufquillt als der uneingecremte Finger, die Creme schützt den Finger also vor dem Eindringen von Wasser. Dies wird vermutlich

durch den hohen Fettgehalt bedingt - Fett stößt Wasser ab. Die Abschwellung des uneingecremten Fingers nach 20 Minuten hingegen ist vermutlich auf Messfehler zurück zu führen. Auf eine Fehlerberechnung wird aufgrund der ungenauen Datenaufnahme verzichtet. Der größte Fehler entsteht dadurch, dass sich die beobachteten Stellen nur sehr schlecht wiederfinden lassen und daher die Bilder nur in etwa die selbe Stelle des Fingers zeigen.

### 3.3 Doppler FD OCT

Als erstes soll überprüft werden, wie groß der Durchmesser des Flussphantoms an der untersuchten Stelle wirklich ist. Dafür wird ein Bild des leeren Phantoms aufgenommen, welches in Bild 9 gesehen werden kann.

$$d_{Flussphantom} = (290.5 \pm 6.5) \mu m$$

Damit ist die untersuchte Stelle etwas schmaler als ursprünglich angenommen.

Dann wird der Brechungsindex der Intralipid20-Lösung ermittelt. Dafür wird auch im Bild des Flussphantoms gefüllt mit Emulsion (Bild 10) der Kapillardurchmesser in Pixeln gemessen und das Verhältnis der beiden berechnet:

$$n_{Intralipid20} = \frac{d_{Intralipid20}}{d_{Luft}} \quad (9)$$

$$\begin{aligned} d_{Luft} &= (58.1 \pm 1.3) Pixel \\ d_{Intralipid20} &= (80.6 \pm 1.3) Pixel \\ n_{Intralipid20} &= 1.39 \pm 0.4 \end{aligned}$$

Nun wird das Geschwindigkeitsprofil im Phantom betrachtet. Dabei muss eine Geschwindigkeit eingestellt werden, die eine Verschiebung unterhalb der Grenze  $\delta x = 1$  hervorruft. Der dafür notwendige Volumenstrom  $\dot{V}$  kann mit folgender Formel berechnet werden:

$$\dot{V} = \frac{\pi R^2 \omega_0 f_{Scans} \delta x}{2 \cos(\theta)} \quad (10)$$

Wobei R der Radius des Phantoms ist,  $f_{Scans}$  die Auslesefrequenz und  $\theta$  der Winkel zwischen betrachteter und tatsächlicher Geschwindigkeit der Lösung. Der einzustellende Winkel ergibt sich aus der Abbildung 9 im Skript [2], es soll ein Winkel gefunden werden, bei dem das unkorrigierte Doppler-Modell noch greift und der gleichzeitig möglichst groß ist, damit der verwendete Volumenstrom größtmöglich ist. Der gefundene Maximalwinkel  $\theta_0$  beträgt etwa  $154.5^\circ$ . Durch den Brechungsindex der Lösung verschiebt sich der beobachtete Winkel jedoch. Der tatsächlich einzustellende Winkel berechnet sich über:

$$\theta = \theta_0 n_{Intralipid20} \quad (11)$$

Daraus folgt, dass folgender Volumenstrom eingestellt werden muss:

$$\dot{V} = 0.4 \text{ ml/s}$$

In diesem Experiment nahm das Aufnahmegerät jedoch keine Flussgeschwindigkeiten bei diesem Volumenstrom auf, entweder, weil das Programm nicht richtig arbeitete, oder weil die Pumpe nicht richtig funktionierte. Dabei ist eine Fehlfunktion der Pumpe wahrscheinlicher, da keine Pumpgeräusche mehr bei niedrigen Volumenströmen zu hören waren. Wir haben mit einem an der Pumpe eingestellten Volumenstrom von  $4.4 \text{ ml/s}$  gearbeitet.

Bild 11 zeigt das Bild der Flussgeschwindigkeit im Aufnahmegerät. Die Färbung ist eine Phasenverschiebung, was eine bestehende Flussgeschwindigkeit bedeutet. Das ausgewertete Profil dieser kann in Bild 12 gesehen werden.

## 4 Fazit

$$l_{c,TDOCT;exp.} = ??? l_{c,TDOCT;th.} = 9.0022 \mu m \frac{l_{c,TDOCT;exp.}}{l_{c,TDOCT;th.}} = ??? l_{c,FDOCT;exp.} = (27.4 \pm 0.3) \mu m l_{c,FDOCT;th.} =$$

## Literatur

- [1] <http://www.zwp-online.info/sites/default/files/users/kerstin/kohaerenz3.png>  
05.11.2016 14:30 Uhr
- [2] [https://tu-dresden.de/med/mf/ksm/ressourcen/dateien/OCT\\_Anleitung.pdf?lang=de](https://tu-dresden.de/med/mf/ksm/ressourcen/dateien/OCT_Anleitung.pdf?lang=de)  
10.11.2016 14:00 Uhr
- [3] <http://de.wikipedia.org/wiki/Brechungsindex> 10.11.2016 12:00 Uhr

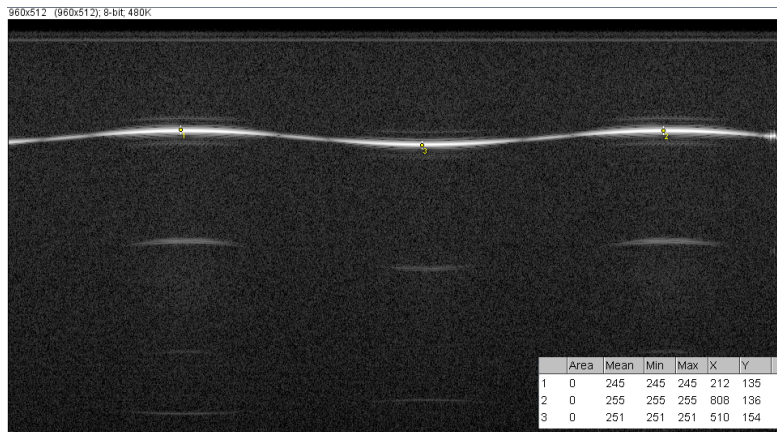


Abbildung 4: Auswertung der aufgenommenen Schwingungsamplitude des Lautsprechers

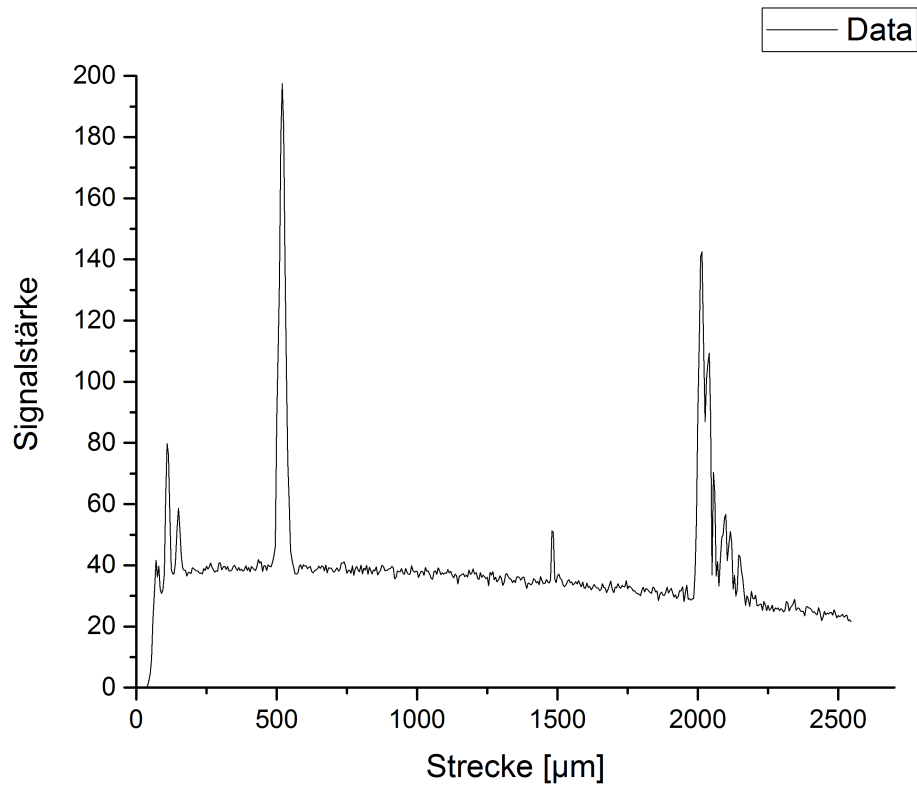


Abbildung 5: Gesamtes Rückstreuungsspektrum

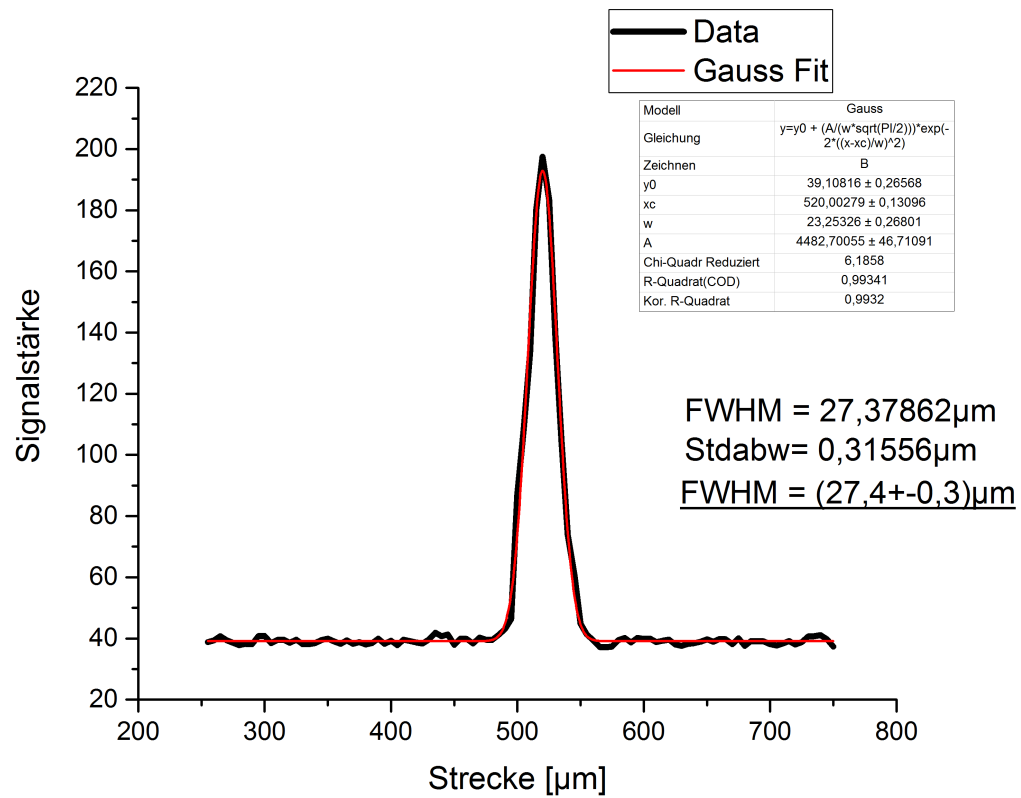
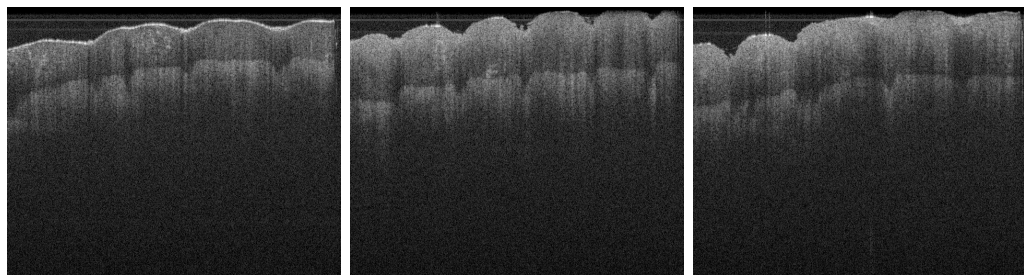
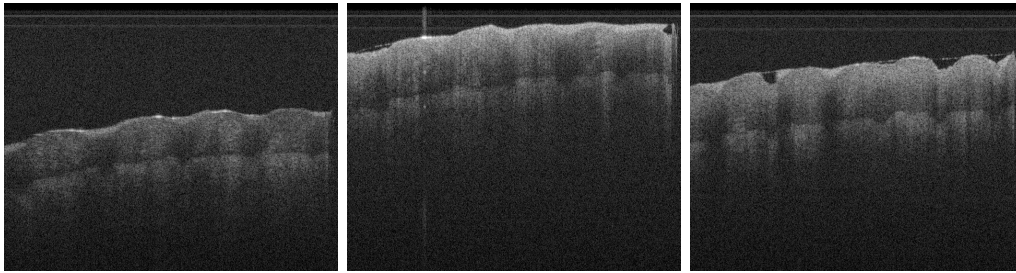


Abbildung 6: Details des Rückstreupeaks



(a) Ohne Einwirkung von Wasser      (b) Nach 10 Minuten im Wasserbad      (c) Nach 20 Minuten im Wasserbad

Abbildung 7: Uneingecremte Fingerspitze



(a) Ohne Einwirkung von Wasser      (b) Nach 10 Minuten im Wasserbad      (c) Nach 20 Minuten im Wasserbad

Abbildung 8: Eingecremte Fingerspitze

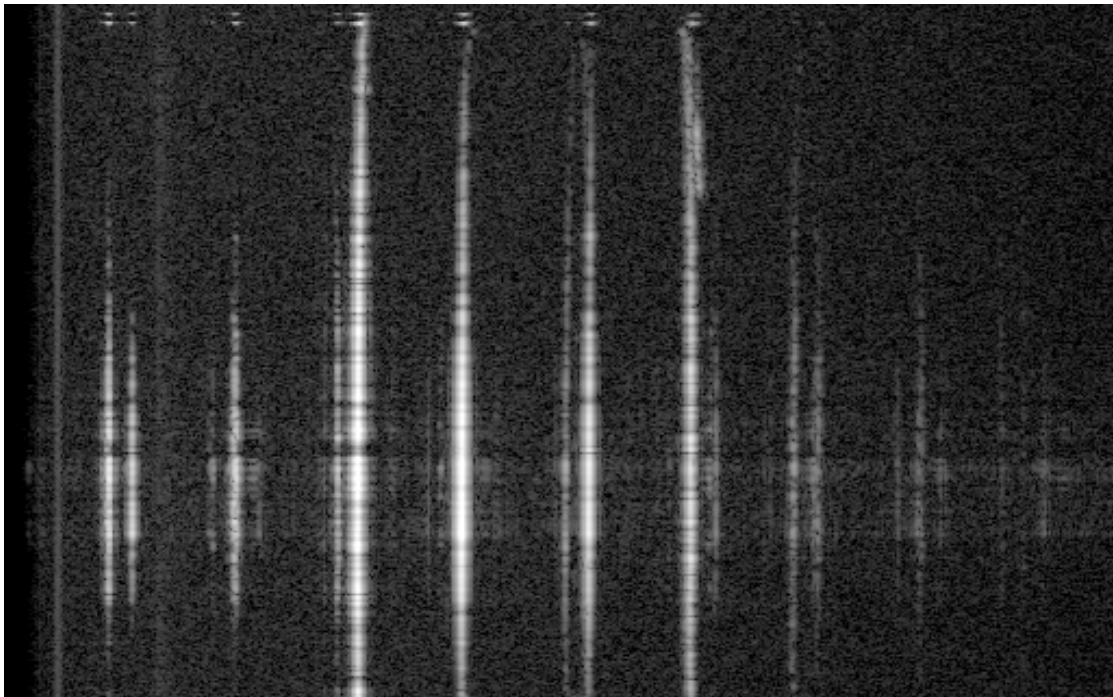


Abbildung 9: Ungefülltes Flussphantom



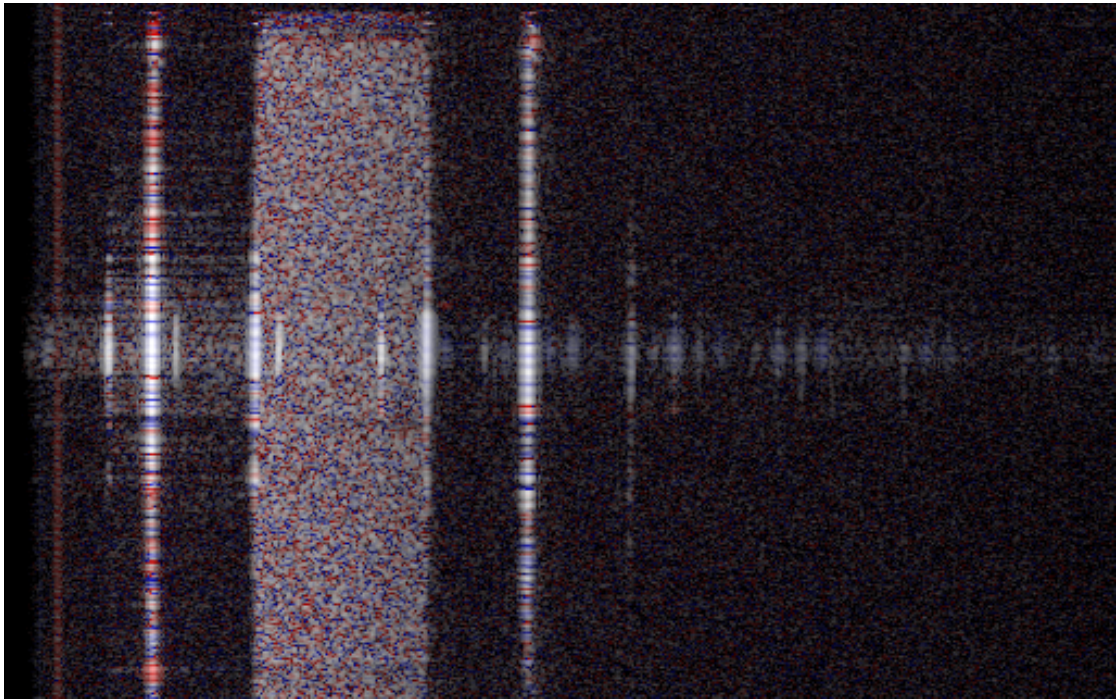


Abbildung 10: Gefülltes Flussphantom

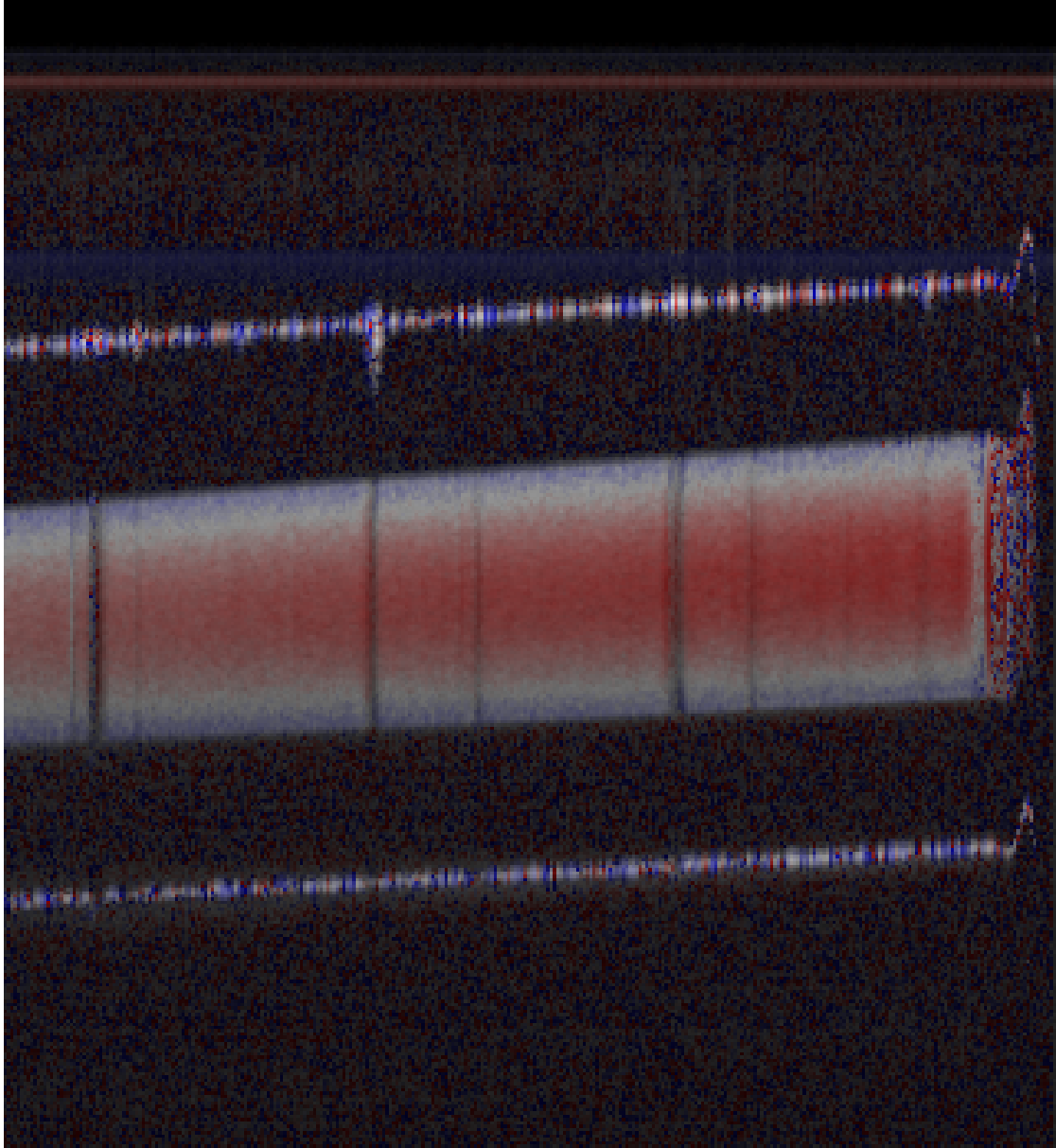


Abbildung 11: Gemittelte Flussgeschwindigkeit im Kapillar



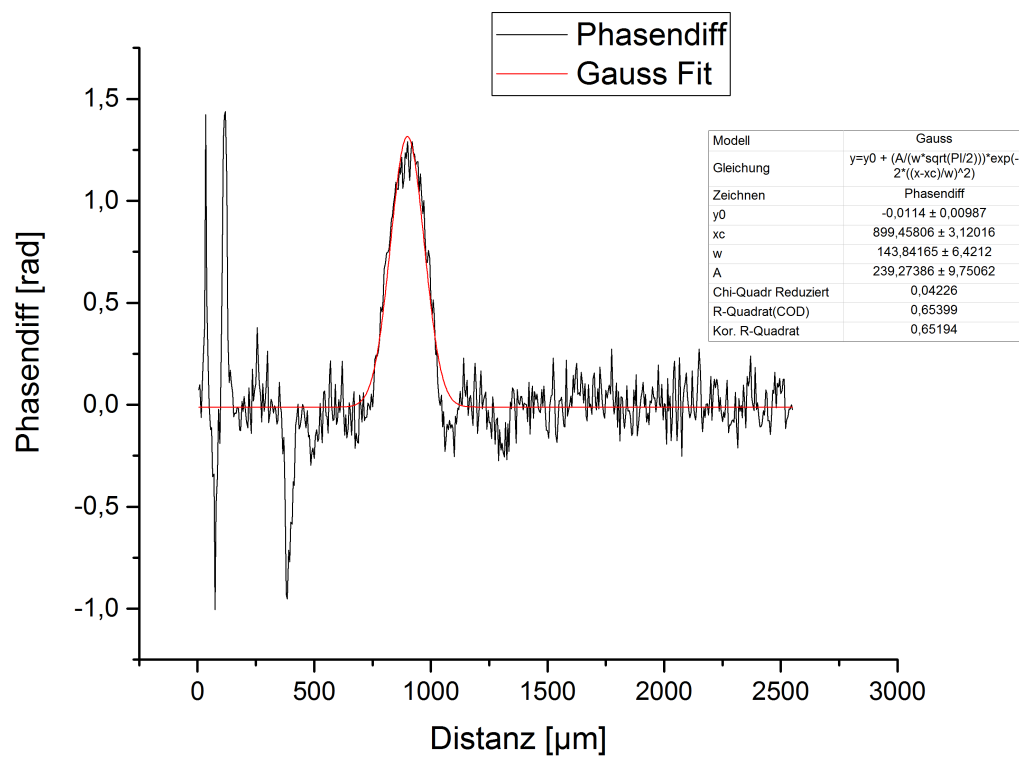


Abbildung 12: Gemittelte Flussgeschwindigkeit als Diagramm